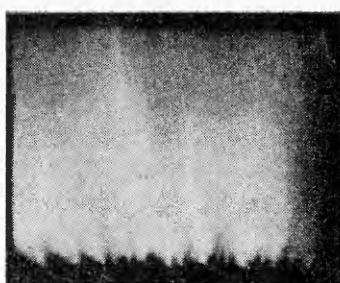
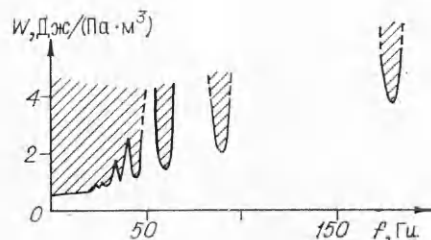


Фиг. 2



Фиг. 3



Фиг. 4

на разрядной камере по потоку,  $\alpha \geq 1$  — коэффициент, зависящий от глубины всасывания свежей порции газа в горло. В исследованной установке  $l_p = 0,04$  м,  $\alpha \sim 2$ . Таким образом, при  $f = f_0 \bar{u} \simeq 25$  м/с. Средняя скорость потока в горле определялась также из соотношения  $\bar{u} \simeq 4mf/(\rho F_g)$ , где  $m$  — масса газа, всасываемого в сосуд за период, определяется по амплитуде колебания давления в сосуде,  $\rho$  — плотность газа,  $F_g$  — площадь проходного сечения горла.

Таким образом, нами получена волновая прокачка газа через разрядную камеру (скорость потока  $\approx 25$  м/с) при допустимых удельных энерговкладах в установке достаточно большого масштаба. Это, по нашим представлениям, открывает реальный путь к созданию импульсно-периодических  $\text{CO}_2$ -лазеров, работающих на этом принципе.

*Поступила 24 III 1983*

#### ЛИТЕРАТУРА

- Борисова Н. А., Бреев В. В., Губарев А. В., Некрасов А. А., Печенова О. И. Расчетное исследование нестационарных газодинамических процессов в каналах с импульсными источниками тепловой энергии. Препринт ИАЭ-3560/1, 1982.
- Борисова Н. А., Головин А. П. и др. Некоторые результаты исследования нелинейных вынужденных колебаний в резонаторе Гельмгольца. — ПМТФ, 1984, № 2.
- Реактивные двигатели/Под ред. О. Е. Ланкастера. М.: ИЛ, 1962.
- Подымов В. И., Северянин В. С., Щелоков Я. М. Прикладное исследование вибрационного горения. Казань: изд. Казан. ун-та, 1978.

УДК 532.529 + 624.131

#### ВОЛНЫ ПРИ ПОДЗЕМНОМ ВЗРЫВЕ

*A. B. Крымский, Г. М. Ляхов*

(Москва)

На основе модели жидкой пористой многокомпонентной среды с объемной вязкостью имеется решение задачи о распространении сферической взрывной волны в водонасыщенном грунте [1, 2].

Эксперименты показывают, что неводонасыщенные грунты являются твердыми пористыми многокомпонентными средами, обладающими вязкостью, нелинейными

пределными диаграммами объемного сжатия, необратимыми деформациями. Ниже на основе модели [2], учитывающей эти свойства, дано решение задачи о распространении сферической взрывной волны при подземном камуфлетном взрыве. Решение проведено с помощью ЭВМ методом конечных разностей [3]. Определены основные параметры волны на разных расстояниях от места взрыва. Проведено сопоставление полученных значений с результатами экспериментов, показавшее их хорошее соответствие.

Применение к грунтам моделей вязких сред, учитывающих зависимость деформаций от скорости нагружения, предлагалось также в [4–7]. В [8] предложена модель, соответствующая жидкой многокомпонентной среде с переменным коэффициентом вязкости.

1. В соответствии с моделью [2] грунт рассматривается как твердая трехкомпонентная среда, содержащая свободное поровое пространство, заполненное воздухом, воду и минеральные зерна. Обозначим  $\alpha_1, \alpha_2, \alpha_3$  объем свободного порового пространства, воды и твердого компонента в единице объема среды;  $\rho_{20}$  и  $\rho_{30}$  — плотность жидкости и материала твердого компонента;  $c_{20}$  и  $c_{30}$  — скорость звука в них. Все величины соответствуют атмосферному давлению  $p = p_0$ . При этом  $\alpha_1 + \alpha_2 + \alpha_3 = 1$ .

Объемная деформация среды  $\varepsilon$  включает деформацию свободного порового пространства  $\varepsilon_1$ , возникающую за счет переукладки твердых и жидких частиц при сжатии среды, и деформацию материала жидкого и твердого компонентов  $\varepsilon_2$  и  $\varepsilon_3$ :  $\varepsilon = \alpha_1\varepsilon_1 + \alpha_2\varepsilon_2 + \alpha_3\varepsilon_3$ .

Деформация при сжатии принята отрицательной. Плотность среды при начальном давлении  $p = p_0$

$$\rho_0 = \alpha_1\rho_{10} + \alpha_2\rho_{20} + \alpha_3\rho_{30},$$

где  $\rho_{10}$  — плотность воздуха.

Уравнения статического объемного сжатия компонентов при  $p \rightarrow 0$  и  $\varepsilon \rightarrow 0$  аппроксимируются уравнениями Тета.

Свободное поровое пространство

$$p - p_0 = f_s(\varepsilon_1) = \frac{\rho_0 c_s^2}{\gamma_s} [(\varepsilon_1 + 1)^{-\gamma_s} - 1].$$

Остальные компоненты

$$p - p_0 = \frac{\rho_{i0} c_{i0}^2}{\gamma_i} [(\varepsilon_i + 1)^{-\gamma_i} - 1], \quad i = 2; 3.$$

Сжимаемость первого компонента — свободного порового пространства — существенно меньше сжимаемости заключенного в нем воздуха. Величины  $\gamma_s$  и  $\rho_0 c_s^2$  в уравнении сжимаемости определяются условием переукладки твердых и жидких частиц при деформации. Они зависят от прочностных свойств скелета грунта и находятся из эксперимента для каждого вида грунта в отдельности. Уравнение статического объемного сжатия среды при  $p \rightarrow 0$  и  $\varepsilon \rightarrow 0$  в соответствии с уравнениями объемной сжимаемости компонентов имеет вид

$$\frac{V}{V_0} = \varepsilon + 1 = \alpha_1 \left[ \frac{\gamma_s (p - p_0)}{\rho_0 c_s^2} + 1 \right]^{-\frac{1}{\gamma_s}} + \sum_{i=2}^3 \alpha_i \left[ \frac{\gamma_i (p - p_0)}{\rho_{i0} c_{i0}^2} + 1 \right]^{-\frac{1}{\gamma_i}}.$$

Уравнения динамического объемного сжатия материала жидкого и твердого компонентов при  $p \rightarrow \infty$  и  $\varepsilon \rightarrow \infty$  принимаются такими же, как при статическом напряжении. Они не зависят от скорости деформирования. Уравнение динамического объемного сжатия свободного порового пространства принято в виде  $p - p_0 = f_s(\varepsilon_1) + k\varepsilon_1$ , где  $k < 0$ .

При  $p \rightarrow p_0$  и  $\varepsilon_1 \rightarrow 0$ , обозначая  $k_s$  статический, а  $k_d$  динамический модули объемного сжатия свободного порового пространства, получим  $k = k_d - k_s$ ,  $k_s = -\rho_0 c_s^2$ .

В процессе деформации грунта состояние среды приближается от динамической к статической диаграмме объемного сжатия. Интенсивность

этого перехода определяется величиной коэффициента объемной вязкости  $\eta$ .

При малых нагрузках деформация грунта, как показывают опыты, обусловливается в основном уменьшением объема свободного порового пространства. При нагрузках порядка  $(100-1000) \cdot 10^5$  Н/м<sup>2</sup> величина деформации свободного порового пространства  $\varepsilon_1$  приближается к  $\alpha_1$ , и дальнейший рост деформации среды при возрастании нагрузки происходит в основном за счет сжатия материала твердого компонента и воды. Подобный характер деформирования учитывается в рассматриваемой модели.

Уравнение объемного сжатия среды при сделанных предпосылках имеет вид

$$(1.1) \quad \dot{\varepsilon} = \frac{\dot{V}}{V_0} = \varphi(p, V) \dot{p} - \frac{\alpha_1 \lambda(p, V)}{\eta} \psi(p, V),$$

где

$$\begin{aligned} \varphi(p, V) &= \alpha_1 \left( \frac{df_D}{d\varepsilon_1} \right)^{-1} - \sum_{i=2}^3 \frac{\alpha_i}{\rho_{i0} c_{i0}^2} \left[ \frac{\gamma_i(p - p_0)}{\rho_{i0} c_{i0}^2} + 1 \right]^{-\frac{1+\gamma_i}{\gamma_i}}, \\ \lambda(p, V) &= \frac{df_S}{d\varepsilon_1} \left( \frac{df_D}{d\varepsilon_1} \right)^{-1}, \quad \psi(p, V) = p - p_0 - f_S(\varepsilon_1), \\ f_D(\varepsilon_1) &= f_S(\varepsilon_1) + k\varepsilon_1, \quad f_S(\varepsilon_1) = \frac{\rho_0 c_S^2}{\gamma_S} [(\varepsilon_1 + 1)^{-\gamma_S} - 1], \\ \varepsilon_1 &= \frac{1}{\alpha_1} \left\{ \frac{V}{V_0} - \sum_{i=2}^3 \left[ \frac{\gamma_i(p - p_0)}{\rho_{i0} c_{i0}^2} + 1 \right]^{-\frac{1}{\gamma_i}} \right\} - 1, \quad \varepsilon = \frac{V - V_0}{V_0}. \end{aligned}$$

Принимается, что уравнение разгрузки материала жидкого и твердого компонентов совпадает с уравнениями их сжатия. Уравнение статической разгрузки свободного порового пространства при максимальных деформациях  $|\varepsilon_1| > |\varepsilon_{1m}|$  совпадает с уравнением сжатия, при меньших значениях максимальной деформации линия разгрузки принята параллельной касательной к кривой сжатия в точке  $\varepsilon_1 = \varepsilon_{1m}$ .

Уравнение объемной разгрузки среды при этих предпосылках имеет вид (1.1), где

$$\begin{aligned} \varphi(p, V) &= \alpha_1 (k - \rho_0 c_R^2)^{-1} - \sum_{i=2}^3 \frac{\alpha_i}{\rho_{i0} c_{i0}^2} \left[ \frac{\gamma_i(p - p_0)}{\rho_{i0} c_{i0}^2} + 1 \right]^{-\frac{1+\gamma_i}{\gamma_i}}, \\ \lambda(p, V) &= k (k - \rho_0 c_R^2)^{-1}, \quad \psi(p, V) = p - p_0 - f_R(\varepsilon_1), \\ f_R(\varepsilon_1) &= \rho_0 c_R^2 \left\{ \varepsilon_1 - \left[ \frac{\gamma_S(p_m - p_0)}{\rho_0 c_S^2} + 1 \right]^{-\frac{1}{\gamma_S}} - \frac{p_m - p_0}{\rho_0 c_R^2} + 1 \right\}, \\ \rho_0 c_R^2 &= \rho_0 c_S^2 (\varepsilon_{1m} + 1)^{-\gamma_S - 1}, \quad 1 + \varepsilon_{1m} = \left[ \frac{\gamma_S(p_m - p_0)}{\rho_0 c_S^2} + 1 \right]^{-\frac{1}{\gamma_S}}. \end{aligned}$$

Как показывают опыты, коэффициент бокового давления  $k_\tau = \sigma_\theta / \sigma_r$  в неводонасыщенных грунтах с возрастанием давления растет и при  $p \rightarrow \infty$  стремится к 1. При малых нагрузках в грунте выполняется условие пластиичности Мизеса — Шлейхера, при больших — грунт становится подобным жидкостью среде. В соответствии с этим условие пластиичности принято в виде [9]

$$(1.2) \quad S_r = - \left( b_0 + \frac{k^*(p - p_0)}{1 + \frac{k^*(p - p_0)}{p^* - p_0 - b_0}} \right), \quad S_r = \sigma_r + (p - p_0).$$

Отсюда при  $p \rightarrow p_0$ ,  $p = p^*$  и  $p \rightarrow \infty$  получим значения  $k_\tau$ , равные  $(2 - k^*)/(1 + k^*)2$ ,  $(2 + k^*)/(1 + 2k^*)2$  и 1 соответственно. При  $p \rightarrow p_0$ ,

$p = p^*$  и  $p \rightarrow \infty$   $k_\tau = 0,38; 0,56$  и  $1$  соответственно. При этом принято  $b_0 = 0$ ,  $p^* - p_0 = 2 \cdot 10^3 \cdot 10^5$  Н/м<sup>2</sup>.

При решении применена схема мгновенной волновой детонации заряда ВВ. Принято двучленное изэнтропическое уравнение состояния продуктов детонации в виде [5, 10]

$$(1.3) \quad p = A\rho^{\gamma_a} + B\rho^{\gamma_b}.$$

Для тротила  $\rho_n = 1600$  кг/м<sup>3</sup>,  $Q = 1000$  ккал/кг,  $\gamma_a = 3,12$ ,  $\gamma_b = 1,25$ ,  $A = 0,88$  (Н/м<sup>2</sup>)/(кг/м<sup>3</sup>) <sup>$\gamma_a$</sup> ,  $B = 0,62 \cdot 10^5$  (Н/м<sup>2</sup>)/(кг/м<sup>3</sup>) <sup>$\gamma_b$</sup> .

Уравнения движения при сферической симметрии в переменных Эйлера имеют вид

$$(1.4) \quad \begin{aligned} \rho \left( \frac{\partial u}{\partial t} + u \frac{\partial u}{\partial r} \right) - \frac{\partial \sigma_r}{\partial r} - \frac{2(\sigma_r - \sigma_0)}{r} &= 0, \\ \frac{\partial \rho}{\partial t} + \frac{1}{r^2} \frac{\partial(r^2 \rho u)}{\partial r} &= 0, \quad p - p_0 = -\frac{1}{3} (\sigma_r + 2\sigma_0). \end{aligned}$$

Уравнения (1.1), (1.2) и (1.4) образуют замкнутую систему. Замкнутая система уравнений движения продуктов детонации включает (1.3), (1.4).

Начальные условия задачи:  $u = 0$ ,  $p = p_0$ ,  $\rho = \rho_n$  при  $0 \leq r \leq r_0$ ;  $u = 0$ ,  $\rho = \rho_0 = 1/V_0$ ,  $p = p_0$  при  $r_0 < r$ .

На границе камуфлетной полости напряжение  $\sigma_r$  и скорость  $u$  непрерывны.

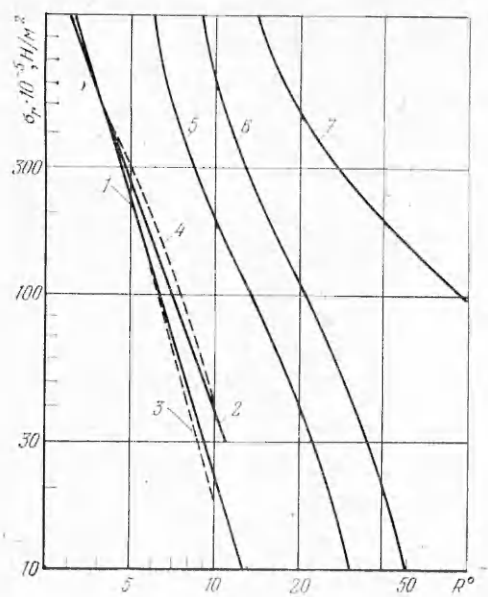
Используемая лагранжева схема счета с искусственной вязкостью [3] позволяет учитывать соотношения на скачке неявно, без выделения особенности движения, если оно перестает быть непрерывным. Это приводит к искусственно размытию волны. Расчет с повышенной точностью позволяет сузить область размытия.

Расчетные характеристики грунта примерно соответствуют лессу, в котором проводились измерения параметров волн при подземных взрывах сосредоточенных зарядов ВВ в полевых условиях [11]. Принято  $\alpha_1 = 0,4$ ,  $\alpha_2 = 0,2$ ,  $\alpha_3 = 0,4$ ,  $\rho_0 c_S^2 = 30 \cdot 10^5$  Н/м<sup>2</sup>,  $k = 150 \cdot 10^5$  Н/м<sup>2</sup>,  $\gamma_S = 6$ ,  $\rho_{20} = 1000$  кг/м<sup>3</sup>,  $c_{20} = 1500$  м/с,  $\rho_{30} = 2650$  м/с,  $c_{30} = 5000$  м/с,  $\gamma_2 = 7$ ,  $\gamma_3 = 5$ ,  $\epsilon_{1m} = -0,15$ . Радиус заряда  $r_0 = 0,1$  м.

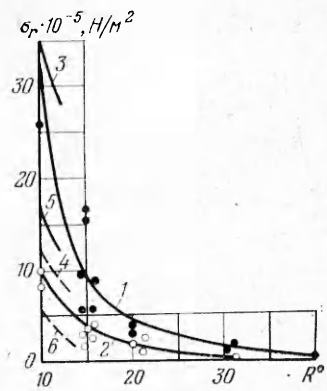
Экспериментальные данные о коэффициенте объемной вязкости рассматриваемого грунта отсутствуют. Максимально и минимально возможные значения в глинистых и суглинистых грунтах, как это следует из анализа опытов [12], соответствуют примерно 100 и 5000 Нс/м<sup>2</sup>. Расчеты выполнены при  $\eta = 100; 1000$  и  $5000$  Нс/м<sup>2</sup>. Для оценки влияния на параметры волны необратимости деформаций решение проведено с учетом различий между предельными диаграммами сжатия и разгрузки среды и без учета, когда диаграммы сжатия и разгрузки совпадают при всех давлениях.

2. Рассмотрим результаты расчета. На фиг. 1 представлены зависимости максимального радиального напряжения  $\sigma_r$  от безразмерного расстояния  $R^0 = r/r_0$  при распространении волны в различных средах. Линии 1 и 2 относятся к рассматриваемому грунту при  $\eta = 5000$  и  $100$  Нс/м<sup>2</sup> соответственно и при диаграмме разгрузки, совпадающей с нагрузкой; 3 и 4 — к рассматриваемому грунту с учетом различий нагрузки и разгрузки при  $\eta = 5000$  и  $1000$  Нс/м<sup>2</sup>; 5 и 6, заимствованные из работы [4], соответствуют водонасыщенному грунту с разным содержанием воздуха при  $\alpha_1 = 0,04$ ,  $\alpha_3 = 0,6$  и  $\alpha_1 = 0,01$ ,  $\alpha_3 = 0,6$ ; 7 относится к воде. Расчеты в этой работе выполнены также по схеме мгновенной детонации ВВ. В случае воды и водонасыщенного грунта графики соответствуют давлению.

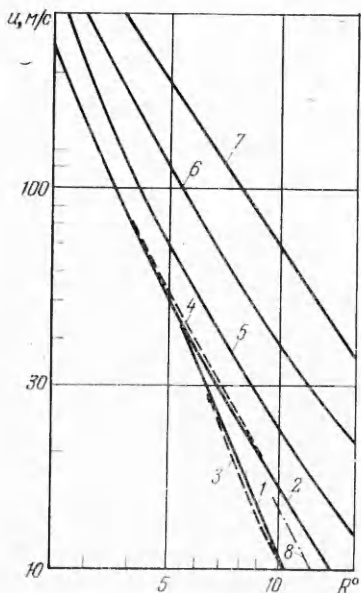
Сопоставление показывает, что напряжение в рассматриваемом неводонасыщенном грунте убывает с расстоянием существенно быстрее, чем в водонасыщенных грунтах, имеющих меньшую сжимаемость, и в воде. Это соответствует опытным данным. Увеличение  $\eta$  и учет необратимости



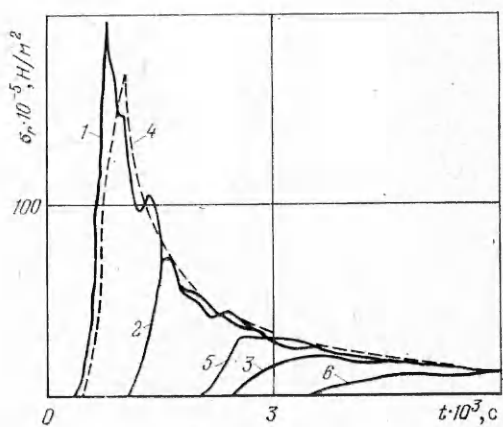
Ф и г. 1



Ф и г. 2



Ф и г. 3



Ф и г. 4

деформаций приводит к более интенсивному угасанию максимальных напряжений. При этом увеличение  $\eta$  в 50 раз меняет значение  $\sigma_r$  при напряжениях порядка  $10 \cdot 10^5$  Н/м<sup>2</sup> на 30—40%, а учет необратимости деформаций на 20—30%.

На фиг. 2 кривые 1 и 2 соответствуют экспериментальной зависимости радиального  $\sigma_r$  и тангенциального  $\sigma_\theta$  максимального напряжения от расстояния  $R^0$  в лесовом грунте [11]. Масса сосредоточенного заряда ВВ в опытах составляла 0,2; 1,6 и 25 кг. В последнем случае  $r_0 = 0,154$  м. Кривые 3 и 4 соответствуют проведенным расчетам  $\sigma_r$  и  $\sigma_\theta$  при  $\eta = 1000$  Нс/м<sup>2</sup>, а 5 и 6 — расчетам  $\sigma_r$  и  $\sigma_\theta$  при  $\eta = 5000$  Нс/м<sup>2</sup>. Кривые 3 и 5 совпадают с кривыми 4 и 1 на фиг. 1. Расчетные и экспериментальные значения компонентов напряжения близки. Лучшее соответствие достигается при  $\eta = 1000$  Нс/м<sup>2</sup> и при учете различий диаграмм сжатия и разгрузки. По-видимому, приняв  $\eta = 2000—2500$  Нс/м<sup>2</sup>, можно получить еще лучшее соответствие расчетных и экспериментальных данных.

На фиг. 3 показаны зависимости максимальной скорости частиц  $u$  от расстояния в рассматриваемом грунте, водонасыщенных грунтах и в

воде. Обозначения те же, что на фиг. 1. Скорость частиц, как и напряжение, в неводонасыщенном грунте меньше, чем в водонасыщенном грунте и в воде. Относительное различие значений скорости, однако, меньше, чем напряжения. Увеличение коэффициента вязкости и учет необратимости деформаций приводят к снижению скорости частиц. Кривая 8 на фиг. 3 соответствует максимальным значениям скорости частиц при экспериментах в лесовом грунте. Расчетные значения максимальной скорости частиц, как и максимальные напряжения, близки к экспериментальным.

На фиг. 4 представлено изменение напряжения  $\sigma_r$  во времени при прохождении волн на разных расстояниях от места взрыва при  $\eta = 5000 \text{ Нс}/\text{м}^2$ . Кривые 1—3 соответствуют расстояниям  $R^0 = 5,07; 7,07$  и  $10,27$ . Расчеты проведены при различии диаграмм сжатия и разгрузки. Кривые 4—6 относятся к  $R^0 = 5,47; 9,07$  и  $12,7$  в случае, когда диаграммы сжатия и разгрузки совпадают.

Из фиг. 4 следует, что взрывная волна при распространении размывается, превращаясь из ударной в непрерывную волну сжатия. Длительность нарастания напряжения до максимума с расстоянием увеличивается примерно так же, как и в опытах [11]. Сопоставление кривых показывает, что профиль волны мало зависит от учета различий в диаграммах сжатия и разгрузки.

Размывание волны может происходить за счет искусственной вязкости. Как показывает оценка, проведенная по методу [13], толщина зоны размывания, полученная в расчетах при  $\sigma_r = (100-120) \cdot 10^6 \text{ Н}/\text{м}^2$ , больше вызываемой искусственной вязкостью, т. е. связана со свойствами среды. Небольшие колебания  $\sigma_r(t)$  в период спада напряжения не следуют из модели среды. Это результат применяемого метода счета на ЭВМ. Дополнительное стягивание кривых не проводилось.

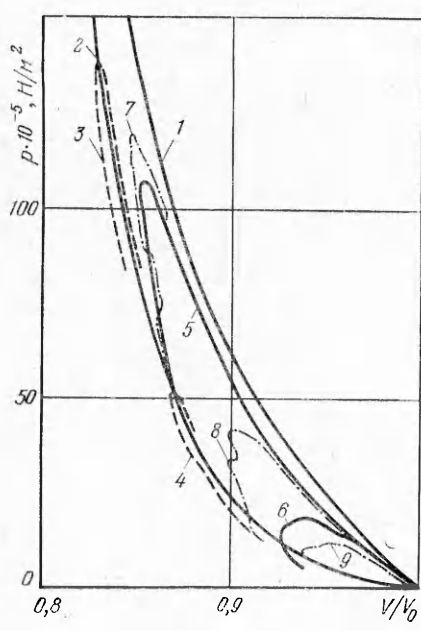
На фиг. 5 представлено изменение состояния в частицах среды при прохождении волны. Кривые 1 и 2 соответствуют предельным диаграммам динамического и статического сжатия среды, 3 и 4 определяют зависимость  $p(V)$ , реализуемую на расстояниях  $R^0 = 5,47$  и  $9,07$  при  $\eta = 100 \text{ Нс}/\text{м}^2$ , 5 и 6 относятся к тем же расстояниям, но при  $\eta = 5000 \text{ Нс}/\text{м}^2$ . В обоих случаях диаграммы сжатия и разгрузки принимались одинаковыми. Кривые 7—9 соответствуют расстояниям  $5,07; 7,07$  и  $10,27$  при  $\eta = 5000 \text{ Нс}/\text{м}^2$  и при учете различий диаграмм динамического и статического сжатия.

На рассмотренных расстояниях волна уже размыта, давление нарастает не скачком, поэтому участки кривых  $p(V)$ , соответствующие нарастанию давления, лежат между предельными диаграммами сжатия. При меньшем значении  $\eta$  они существенно ближе к статической диаграмме. На участке разгрузки среды эти кривые пересекают статическую диаграмму. На малых расстояниях минимальное значение объема достигается при максимальном давлении на больших расстояниях в период спада давления. Это, как показывают опыты, в которых проводилось одновременное измерение напряжений и деформаций при прохождении взрывной волны [2], свойственно грунтам.

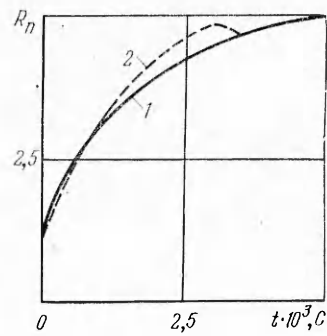
Потери энергии в частицах среды при прохождении волны определяются площадью фигуры в плоскости  $p, V$ , ограниченной кривой  $p(V)$ , соответствующей сжатию и разгрузке этих частиц. Сопоставление кривых на фиг. 5 показывает, что увеличение  $\eta$  приводит к возрастанию площади этой фигуры, т. е. к увеличению потерь. С возрастанием потерь энергии связано и более интенсивное угасание волны с расстоянием при большем значении  $\eta$ .

На фиг. 6 представлено изменение во времени безразмерного радиуса камуфлетной полости (газовой камеры)  $R_n = r_n/r_0$ . Здесь  $r_n$  — размерный радиус полости. Кривые 1, 2 соответствуют  $\eta = 5000$  и  $1000 \text{ Нс}/\text{м}^2$ . Расчеты показывают, что кривые  $R_n(t)$  практически совпадают при учете и без учета различий в диаграммах сжатия и разгрузки.

При камуфлетных взрывах в лесовых грунтах измерялись конечные размеры полостей. Средний безразмерный радиус полости  $R_n$  равнялся



Ф и г. 5



Ф и г. 6

$R_i^0 - R_{i+1}^0$	$D, \text{ м/с}$		Опыт
	$\eta = 1000 \text{ Нс/м}^2$	$\eta = 5000 \text{ Нс/м}^2$	
3,07 — 4,27	600	450	—
4,27 — 5,07	400	350	—
5,07 — 7,07	300	150	280
7,07 — 10,27	160	150	170

6.0. Ход кривых на фиг. 6 показывает, что полученный при решении задачи конечный радиус полости имеет близкое значение. Основное расширение газовой полости продолжается примерно  $(6-8) \cdot 10^{-3}$  с. Это время соответствует падению максимального напряжения  $\sigma_r$  в волне до  $(2-4) \cdot 10^5 \text{ Н/м}^2$ .

В таблице приведены средние скорости  $D$  распространения максимальных напряжений  $\sigma_r$  на последовательных интервалах расстояний  $R^0$  от места взрыва. Расчетные значения скорости получены при двух коэффициентах объемной вязкости с учетом различия диаграмм сжатия и разгрузки, а экспериментальные — при взрывах в лесовых грунтах.

Таким образом, на основе модели твердой многокомпонентной среды, учитывающей пластические свойства и объемную вязкость при нелинейных предельных диаграммах сжатия, получено решение задачи о распространении сферической взрывной волны, создаваемой при подземном камуфлетном взрыве. Определены основные параметры волны: максимальное напряжение, скорость частиц, скорость распространения максимального напряжения, профили волны на разных расстояниях от места взрыва, радиус камуфлетной полости. Сопоставление с результатами опытов, проведенных в грунтах, показывает хорошее соответствие значений всех основных параметров волны. Примененная модель [2] отражает основные свойства грунтов, определяющие закономерности волновых процессов.

Поступила 21 IV 1983

#### ЛИТЕРАТУРА

- Ляхов Г. М., Охитин В. И. Сферические взрывные волны в средах с объемной вязкостью. — ПМТФ, 1977, № 6.
- Ляхов Г. М. Волны в грунтах и пористых многокомпонентных средах. М.: Наука, 1982.
- Уилкинс М. Л. Расчет упругопластических течений. — В кн.: Вычислительные методы в гидромеханике. М.: Мир, 1967.
- Ляхов Г. М., Полякова И. П. Волны в плотных средах и нагрузки на сооружения. М.: Недра, 1967.
- Ляхов Г. М. Основы динамики взрывных волн в грунтах и горных породах. М.: Недра, 1974.
- Рыков Г. В., Скобеев А. М. Изменение напряжений в грунтах при кратковременных нагрузках. М.: Наука, 1978.

7. Замышляев Б. В., Евтерев Л. С., Чернекин В. А. Релаксационное уравнение состояния мягких грунтов. — ДАН СССР, 1981, т. 241, № 5.
  8. Ляхов А. Г. Взаимодействие волны в многокомпонентной двухфазной среде с препятствием. — Изв. АН СССР. МЖГ, 1981, № 3.
  9. Персон П., Юхансон К. Детонация взрывчатых веществ. М.: Мир, 1973.
  10. Баум Ф. А., Орленко Л. П., Станюкович К. П., Чельшин В. П., Шехтер Б. М. Физика взрыва. М.: Наука, 1975.
  11. Григорян С. С., Ляхов Г. М. и др. Взрывные волны в лессовидном грунте. — ПМТФ, 1963, № 4.
  12. Вовк А. А., Черный Г. И., Михалюк А. В. Действие крупномасштабных взрывов в массиве горных пород. Часть I. Киев: Наукова думка, 1974.
  13. Самарский А. А., Арсенин В. Я. Численные решения уравнений газовой динамики с различными типами вязкости. — ЖВММФ, 1961, т. 1, № 2.
- 

УДК 534.242—538.565

## СОБСТВЕННЫЕ ВОЛНОВЫЕ ЧИСЛА АКУСТИЧЕСКИХ И ЭЛЕКТРОМАГНИТНЫХ КОЛЕБАНИЙ ОКОЛО КРУГОВОЙ РЕШЕТКИ С СЕРДЕЧНИКОМ

*B. L. Okulov*

*(Новосибирск)*

В теории дифракции для задач на собственные значения в качестве собственного параметра обычно выбирают квадрат волнового числа [1]. Для определения собственных волновых чисел (собственных частот) внутренних задач известно достаточно как точных, так и приближенных методов, а для внешних задач в основном рассматривались лишь длинноволновое или коротковолновое приближение. Автору известно только несколько работ, в которых задача на определение собственных значений решалась в строгой постановке (см., например, [2, 3], а также библиографию к ним). В данной работе определены собственные волновые числа внешней задачи дифракции электромагнитных или акустических волн на плоской круговой решетке с сердечником в строгой постановке, т. е. при любых отношениях периода решетки к длине волны.

Круговыми решетками обычно моделируют рабочие колеса центробежных компрессоров и вентиляторов. Решение задачи на собственные значения может быть полезно при анализе явления акустического резонанса, возникающего на некоторых режимах работы этих машин [2]. Структуры, аналогичные круговым решеткам, можно рассматривать как модели электродинамических резонаторов, некоторых антенных и волноведущих устройств. Чтобы предсказывать их резонансные свойства, также необходимо знать собственные волновые числа электромагнитных колебаний около подобных открытых структур [1].

1. Рассмотрим неподвижную плоскую круговую решетку диаметра  $2R$ , составленную из  $N$  тонких радиальных лопаток (зеркал), прикрепленных к круглому сердечнику радиуса  $r$  (фиг. 1). Пусть во внешности решетки функция  $\varphi(\rho, \theta)$  определяет волновую амплитуду установившихся акустических или электромагнитных колебаний ( $\rho, \theta$  — полярные координаты с началом в центре решетки). Амплитуда полного поля может быть представлена в виде

$$\varphi = \sum_{l=0}^{N-1} \varphi_l,$$

где каждая составляющая полного поля  $\varphi_l$  удовлетворяет:

однородному уравнению Гельмгольца

$$(\Delta + k^2)\varphi_l = 0,$$

$k$  — произвольное комплексное число;  
однородным условиям Дирихле ( $\Omega = 0$ ) или Неймана ( $\Omega = 1$ )

$$\varphi_l = 0 \text{ или } \partial\varphi_l/\partial n = 0$$

на лопатках решетки и поверхности сердечника;  
обобщенному условию излучения [3]

$$\varphi_l = \sum_{s=-\infty}^{\infty} a_s H_s^{(1)}(k\rho) \exp(is\theta) \quad \text{при } \rho > R,$$